

· 病例报告 ·

胰体尾胶样癌¹⁸F-FDG PET/CT 显像一例

李翠翠 张建 左长京

200433 上海长海医院核医学科

通信作者:左长京, Email: changjing.zuo@ qq.com

DOI:10.3760/cma.j.issn.2095-2848.2018.06.012

¹⁸F-FDG PET/CT imaging of distal pancreatic colloid carcinoma: a case report Li Cuicui, Zhang Jian, Zuo Changjing

Department of Nuclear Medicine, Shanghai Hospital of Shanghai, Shanghai 200433, China

Corresponding author: Zuo Changjing, Email: changjing.zuo@ qq.com

患者男,63岁,因“中上腹疼痛6个月”于2014年8月收入本院。患者2014年2月出现无明显诱因中上腹疼痛,较剧烈,伴大汗,无腰背部放射痛、恶心呕吐、腹泻、便秘等不适,至当地医院就诊,CT平扫提示胰腺炎伴假性囊肿,按胰腺炎常规治疗,症状缓解后出院;2014年6月于当地医院复诊,CT较前无明显变化。此次入本院后实验室检查结果:淀粉酶382[正常参考值(下同);0~120]U/L;糖类抗原(carbohydrate antigen, CA)19-9:42.29(0~37)kU/L,癌胚抗原(carcinoembryonic antigen, CEA):8.97(0~5)μg/L;对症治疗后复查(2014年9月)淀粉酶为56U/L。超声内镜提示胰颈部占位,后行经内镜逆行性胰胆管造影术(endoscopic retrograde cholangio-pancreatography, ERCP)+探条扩张术+胰管支架置入术,术中诊断:慢性胰腺炎、胰管狭窄。出院后为进一步明确诊断行¹⁸F-脱氧葡萄糖(fluorodeoxyglucose, FDG) PET/CT检查(2014年9月),结果显示胰头部可见支架影,代谢略高,最大标准摄取值(maximum standardized uptake value, SUV_{max})为2.4,胰头前方可见直径约2cm低密度无放射性摄取病灶,胰体尾密度稍低伴胰管扩张及钙化,无放射性摄取增高;考虑胰管支架置入术后改变,胰头颈部假性囊肿可能,胰体尾主胰管扩张,建议MRI检查(图1)。2014年12月行胰腺MRI平扫+增强检查:胰体尾囊泡状T₁加权成像(weighted imaging, WI),低T₂WI高信号灶,增强后囊壁及分隔强化,囊腔未见明显强化,胰头前方见直径约1.6cm T₁WI低信号、T₂WI混杂高信号,增强无强化,弥散均未见明显受限;考虑急性胰腺炎治疗后,胰头部假性囊肿形成,胰体尾异常信号影,主胰管型导管内乳头状黏液肿瘤(intraductal papillary mucinous neoplasm, IPMN)可能性大(图2)。

2015年3月患者因“中上腹部不适1年”,进一步诊治再次入院,CA19-9:80.07kU/L。胰腺CT平扫+增强检查示:胰腺支架置入术后,胰头前方直径约1.6cm稍低密度影,增强扫描无明显强化,胰体尾肿大低密度影,主胰管扩张,增强后胰体尾囊壁及内部分隔强化;考虑胰头假性囊肿形成,胰体尾主胰管型IPMN可能(图3)。行胰头十二指肠切除术,术中触及胰头部3cm×2cm肿块,质地中等,肿块包膜完整,周围脏器无明显浸润,胰体尾肿大、质中,术中诊断胰头肿瘤。术后病理结果:送检“胰腺”组织、胰管灶性扩张,少量乳头状增生,无明显异型,周围少量炎性细胞浸润及纤维增生;免疫组织化学检查结果:十二指肠壶腹部腺上皮腺瘤样增生

伴异型增生及鳞状上皮化生,细胞增殖核抗原Ki-67阳性(灶性30%)。

2015年9月患者因“胰头十二指肠切除术后6个月,反复发热5个月”第3次入院,实验室检查:CA19-9>1 200 kU/L。¹⁸F-FDG PET/CT检查示胰头十二指肠术后,残余胰体尾大小约4.9cm×3.3cm,呈囊性改变,其内可见弧形钙化,边缘可见局部FDG摄取增高,早期SUV_{max}=3.8,延迟SUV_{max}=4.0,残余胰管稍扩张;考虑残余胰体尾IPMN可能,较前次PET/CT检查增大,心底部、小网膜囊、腹膜后、肠系膜根部多发淋巴结肿大,转移可能(图4)。后行胰体尾癌根治术+脾切除术+复杂肠粘连松解术,术中胰体尾可见5cm×4cm×5cm包块,质地硬,表面欠光滑,边界尚清。术后病理结果(图5):胰体尾6cm×3cm×3cm多囊性肿物,内含黏液样物,胰周脂肪(+),神经、切缘(-),胰周淋巴结(0/1);诊断:胰体尾黏液性非囊性癌(胶样癌)。电话随访患者至今身体状况良好。

讨论 胰腺胶样癌(colloid carcinoma, CC)又称胰腺黏液性非囊性癌(mucinous non-cystic carcinoma),是一种少见的胰腺癌亚型,发病率占胰腺癌的1%~3%^[1]。2010年WHO定义该肿瘤黏液成分至少占肿瘤实体的80%^[2]。患者临床表现无特异性,可有腹痛、黄疸、消瘦、腹部包块等。肿瘤多位于胰头部,通常起源于肠型IPMN,个别位于胰尾的CC起源于黏液性囊腺瘤^[1]。CC和IPMN免疫组织化学检查多呈黏蛋白(mucin, MUC)2(+)/MUC1(-),K-RAS基因突变率12.5%~30.0%不等,导管腺癌多呈MUC1(+)/MUC2(-),K-RAS基因突变率达90%以上^[2-3]。胰腺CC较导管腺癌生长缓慢、预后较好,Adsay等^[3]报道胰腺CC5年生存率为57%,而胰腺癌总体5年生存率为7%^[4],这可能与MUC2抑制肿瘤活性有关^[5]。本例患者病程进展缓慢,与CC生物学特征相符。

诊断胰腺病变常用的影像学检查方法有超声、CT、MRI和PET/CT检查。由于胰腺CC前期定义模糊,常归类于普通导管腺癌,所以相关文献报道较少,其PET/CT影像学表现报道更少。胰腺CC在CT平扫图像上多呈稍低密度肿块影,边界欠清,偶可见钙化及积气;增强扫描胰腺实质期病灶轻度强化,门脉期和延迟期病灶呈渐进性边缘及内部网格状强化,黏液基质无强化^[6]。MRI检查胰腺CC在T₁WI呈混杂低信号,T₂WI呈高信号,病灶内可见点状低信号影(“胡椒盐”征);增强胰腺实质期无或轻度强化,门静脉及延迟期呈

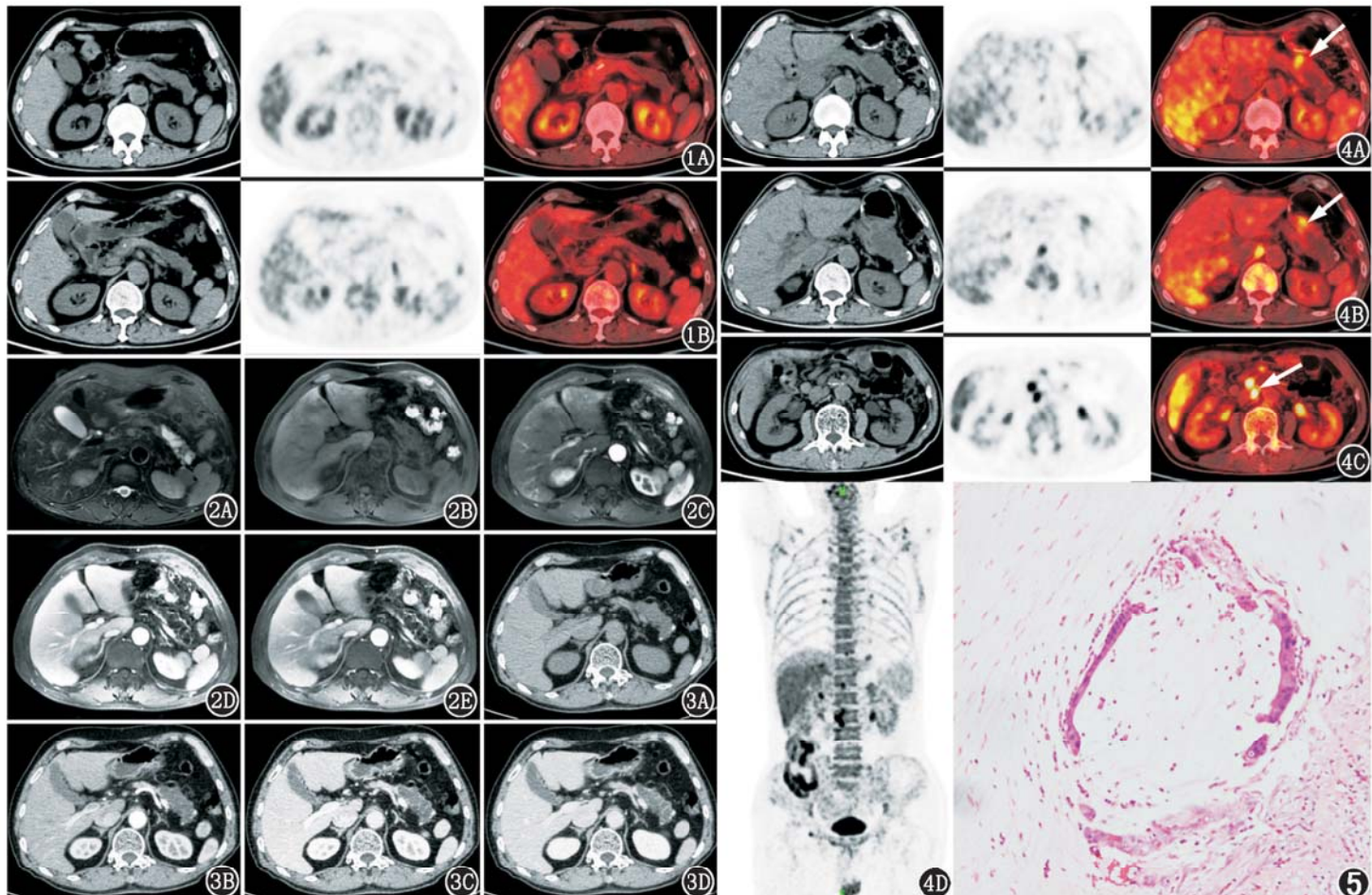


图1 胰体尾胶样癌患者(男,63岁)¹⁸F-脱氧葡萄糖(FDG) PET/CT显像图。2014年9月PET/CT检查示胰体尾低密度病灶,FDG摄取未见升高。1A.常规扫描图像;1B.延迟扫描图像

图2 该患者2014年12月胰腺增强MRI图像。2A.胰体尾囊泡状T₂加权成像(T₂WI)高信号灶;2B.胰体尾T₁加权成像(T₁WI),低信号灶;2C~2E.动态增强显示病变边缘及内部网格状强化

3A.平扫可见胰尾部钙化灶;3B~3D.动态增强强化方式与MRI相似

该患者术后病理检查图。检查示胶样癌特征(HE×200)

图3 该患者2015年3月胰腺CT图像。3A.平扫可见胰尾部钙化灶;3B~3D.动态增强强化方式与MRI相似

图4 该患者2015年9月第2次PET/CT图像。病灶较前增大,胰体端边缘可见代谢增高,心底部、小网膜囊、腹膜后、肠系膜根部多发肿大淋巴结。4A.常规扫描病灶最大标准摄取值(SUV_{max})=3.8(箭头示);4B.延迟扫描SUV_{max}=4.0(箭头示);4C.腹膜后肿大淋巴结伴FDG摄取升高(箭头示);4D.全身PET图像

图5

渐进性边缘强化,内部呈网格或海绵状强化,与增强CT强化方式类似^[7]。本病例增强CT及MRI表现均与文献报道一致,并在病灶边缘可见条带样钙化。

¹⁸F-FDG PET/CT检查在胰腺病变良恶鉴别诊断方面有一定价值,在Zhang等^[8]的研究中,¹⁸F-FDG PET/CT诊断胰腺癌的灵敏度、特异性、准确性分别为92.0%、65.0%、84.2%,增强CT分别为82.0%、65.0%、84.2%;Sperti等^[9]的研究中8例恶性IPMN在¹⁸F-FDG PET/CT上摄取增高,8例良性IPMN摄取未见增高。本病例第1次¹⁸F-FDG PET/CT中FDG摄取未见明显升高,呈低密度低FDG摄取状态,延迟后SUV_{max}未见升高,可能与CC细胞外黏液成分占肿瘤实体的80%以上相关。第2次¹⁸F-FDG PET/CT检查可见残余胰体尾囊性病灶较前次PET/CT检查增大并可见钙化,边缘可见局部FDG摄取增高,早期SUV_{max}=3.8,延迟显像SUV_{max}=4.0,心底部、小网膜囊、腹膜后、肠系膜根部多发淋巴结肿大;结合患者临床表现(胰头术后反复发热)及CA19-9持续性升高,考虑残余胰体尾部病灶恶性可能。胰体尾病灶在第2次PET/CT检查中呈FDG摄取增高状态,可能与CC的病程进展有一定关系,随着病灶发展,黏液池内漂浮肿瘤细胞数量增多、异型性增高,CA19-9持续升高可能也与此相关。病理结果显示

胰周淋巴结(0/1)未见明显转移征象,患者术后约9个月身体状况良好,全身多发肿大淋巴结可能与CC发展对机体产生的一系列反应有关。

胶样癌与IPMN的CT、MRI影像学检查鉴别诊断有一定困难。本病例病程相对较长,胰体尾病灶在诊治过程中可见明显增大,¹⁸F-FDG PET/CT检查由第1次未见明显FDG摄取增高到第2次早期、延迟相均SUV_{max}>2.5,CA19-9呈持续升高状态,可诊断病灶恶性可能性大。病理诊断CC以胞外大量的黏液分布(>80%肿瘤实体)为特征,免疫组织化学检查CC与IPMN多呈MUC2(+)/MUC1(-)、K-RAS基因突变率较低,这与导管腺癌多呈MUC1(+)/MUC2(-)、K-RAS基因突变率高相反。

综上,结合CT、MRI和PET/CT影像学表现、病程发展中病灶明显增大、CA19-9持续升高等多种临床指征,医师可对胰腺囊性病灶作出初步良恶性诊断,恶性病灶应尽早手术切除,以提高患者生存率,改善预后。

利益冲突 无

参考文献

- [1] Liszka L, Zielinska-Pajak E, Pajak J, et al. Colloid carcinoma of the pancreas: review of selected pathological and clinical aspects [J].

- Pathology, 2008, 40(7): 655-663. DOI:10.1080/00313020802436444.
- [2] Fukushima N, Hruban RH, Kato Y, et al. Ductal adenocarcinoma variants and mixed neoplasms of the pancreas [M]//Bosman FT, Carueiro F, Hruban H. World Health Organization classification of tumors. Pathology and genetics of tumors of the digestive system. Lyon: IARC Press, 2010: 293.
- [3] Adsay NV, Pierson C, Sarkar F, et al. Colloid (mucinous noncystic) carcinoma of the pancreas [J]. Am J Surg Pathol, 2001, 25 (1): 26-42. DOI:10.1097/00000478-200101000-00003.
- [4] Rebecca LS, Kimberly DM, Ahmedin J. Cancer Statistics, 2015 [J]. CA Cancer J Clin, 2015, 65 (1): 5-29. DOI:10.3322/caac.21254.
- [5] Adsay NV, Merati K, Nassar H, et al. Pathogenesis of colloid (pure mucinous) carcinoma of exocrine organs: coupling of gel-forming mucin (MUC2) production with altered cell polarity and abnormal cell-stroma interaction may be the key factor in the morphogenesis and indolent behavior of colloid carcinoma in the breast and pancreas [J]. Am J Surg Pathol, 2001, 25 (1): 26-42. DOI:10.1097/00000478-200101000-00003.
- [6] Ren FY, Shao CW, Zuo CJ, et al. CT features of colloid carcinomas of the pancreas [J]. Chin Med J (Engl), 2010, 123 (10): 1329-1332. DOI:10.3760/cma.j.issn.0366-6999.2010.10.019.
- [7] Yoon MA, Lee JM, Kim SH, et al. MRI features of pancreatic colloid carcinoma [J]. AJR, 2009, 193 (4): W308-W313. DOI:10.2214/AJR.09.2347.
- [8] Zhang J, Zuo CJ, Jia NY, et al. Cross-modality PET/CT and contrast-enhanced CT imaging for pancreatic cancer [J]. World J Gastroenterol, 2015, 21 (10): 2988-2996. DOI:10.3748/wjg.v21.i10.2988.
- [9] Sperti C, Pasquali C, Decet G, et al. F-18-fluorodeoxyglucose positron emission tomography in differentiating malignant from benign pancreatic cysts: a prospective study [J]. J Gastrointest Surg, 2005, 9 (1): 22-29. DOI:10.1016/j.gassur.2004.10.002.

(收稿日期:2017-11-26)

1型神经纤维瘤病¹⁸F-FDG PET/CT显像一例

任佳忠 杨国仁 周静 付正

250117 济南,山东大学附属山东省肿瘤医院核医学科(任佳忠、杨国仁),放疗科(周静),影像科(付正);250062 济南大学山东省医学科学院医学与生命科学学院(任佳忠);250062 济南,山东省医学科学院(杨国仁、周静、付正)

通信作者:付正, Email: abbaab77@aliyun.com

DOI:10.3760/cma.j.issn.2095-2848.2018.06.013

基金项目:山东省自然科学基金(2016ZRC03098)

¹⁸F-FDG PET/CT imaging of type 1 neurofibromatosis: a case report Ren Jiazhong, Yang Guoren, Zhou Jing, Fu Zheng

Department of Nuclear Medicine, Shandong Cancer Hospital Affiliated to Shandong University, Jinan 250117, China (Ren JZ, Yang GR); Department of Radiotherapy, Shandong Cancer Hospital Affiliated to Shandong University, Jinan 250117, China (Zhou J); Department of Imaging, Shandong Cancer Hospital Affiliated to Shandong University, Jinan 250117, China (Fu Z); School of Medicine and Life Sciences, University of Jinan, Shandong Academy of Medical Sciences, Jinan 250062, China (Ren JZ); Shandong Academy of Medical Sciences, Jinan 250062, China (Yang GR, Zhou J, Fu Z)

Corresponding author: Fu Zheng, Email: abbaab77@aliyun.com

Fund program: Natural Science Foundation of Shandong Province of China (2016ZRC03098)

患者男,17岁,临床以“全身多处软组织转移瘤,原发灶待查”入院。2013年8月患者无意中发现左颈部及左小腿肿物,大者长径约1.5 cm,未行特殊治疗;6个月后肿物增大,大者长径约3.8 cm。患者自发病以来,精神好,饮食、睡眠好,大小便正常,体质量无明显减轻。体格检查:左颈部隆起,左胸锁乳突肌上缘触及1个约4.0 cm×3.0 cm大小肿物,质韧,无触痛,活动可;左下肢触及1个约3.0 cm×4.5 cm大小质软肿物,无触痛,活动可;患者全身多处出现片状“牛奶咖啡斑”(图1),余检查未见明显异常。患者否认有家族遗传病史及相关病史,但后追查其父全身皮肤有多发“牛奶咖啡斑”。

入院后血常规检查(括号中为正常参考值):中性粒细胞百分比72.8%(50%~70%),淋巴细胞百分比19.7%(20%~40%),平均Hb 157(120~160) g/L,血小板压积0.17(0.18~0.22)。上腹部超声示肝、胆、胰腺及双肾未见明显异常。左侧颈部及左小腿超声可探及肿块,大小分别为4.5 cm×2.5 cm×1.8 cm和5.9 cm×3.0 cm×2.3 cm,中等欠均质回声反射,边界

轮廓可辨,彩色多普勒血流成像显示期内探及“短线样”血流信号。左颈部MRI(图2)提示左侧胸锁乳突肌下见团块样异常信号,呈混杂长短T₂、等T₁信号,脂肪抑制T₂加权成像(weighted imaging, WI)呈混杂高、低信号,边界部分不清,周围肌肉见模糊脂肪抑制T₂WI高信号,增强扫描呈明显强化。

2014年2月5日本院¹⁸F-脱氧葡萄糖(fluorodeoxyglucose, FDG) PET/CT(美国GE Discovery LS型)检查(图3)示:颅脑未见明显异常;左侧胸锁乳突肌下、左侧髂血管旁及左侧小腿肌肉间隙内多发放射性摄取增高软组织影,边界清晰,最大标准摄取值(maximum standardized uptake value, SUV_{max})为4.2~5.8,拟诊断为多发神经源性肿瘤。后行左颈部及左小腿肿物切除术,病理(图4)及免疫组织化学检查示,左颈部及左小腿软组织肿块均为胶原性神经纤维瘤,波形蛋白(+),S-100蛋白(-),平滑肌肌动蛋白(-),肌红蛋白(-),细胞增殖核抗原Ki-67(<5%+).结合该患者全身皮肤多处“牛奶咖啡斑”,双侧桥小脑脚池均未见听神经瘤^[1],诊断为